

東京大学大学院 学生員 三浦重
 東京大学工学部 正員 西野文雄
 東京大学工学部 正員 黒村敏惠

最近、構造物の設計に於いて、高張力鋼の必要性が増大しつつある。これに報告する所は、高張力鋼を圧縮部材として用いた場合の強度に関する一連の実験的研究の一節である。

溶接組立柱の強度に影響する要素として、一般的に次の要素が考えられるようである。

1)細長比 2)静降伏応力 3)溶接残留応力 4)偏心 5)初期不正性、非対称分布による残留応力等の不完全要素。

これら実験では特に溶接残留応力、及び偏心の影響に着目し、これ等二種の要素による影響を比較的純粹な形で現れることを考慮して、本実験を行つた。その結果を検討した。

柱の実験に先立ち、素材の引張試験、短柱圧縮試験、残留応力分布の測定を行つた。実験柱は JIS WEL TEN 80C を用いた。この鋼材の降伏応力を素材引張試験によって求めたところである。実験柱と同条件で残留応力を含む短柱の圧縮試験によって平均的な応力-歪関係を図1に示す。一般に溶接断面の引張残留応力 σ_y であるから、全断面の降伏応力を σ_y とする。

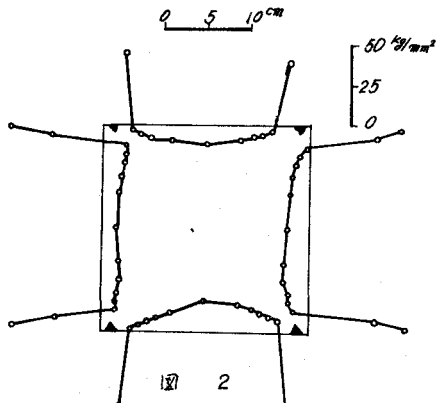
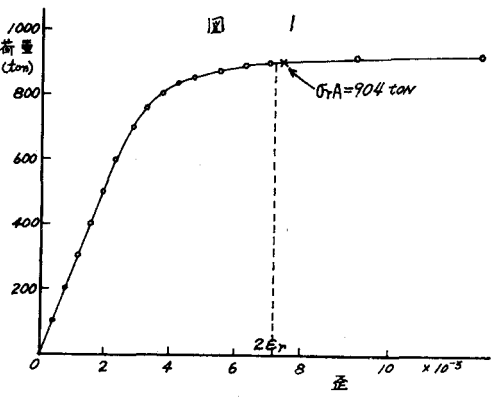
歪 $\epsilon = 2\sigma_y/E = 7.2 \times 10^{-3}$ と思われる。 $\epsilon = 2\sigma_y/E = 7.2 \times 10^{-3}$ にて降伏歪 $\epsilon_y = \sigma_y/E = 7.2 \times 10^{-3}$ にて $\sigma_y = E\epsilon_y = 204 \text{ t/cm}^2$ である。引張試験の結果 ($\sigma_y = 754 \text{ kg/mm}^2$) は、短柱の実測断面積 A を乗じて得られた短柱の降伏荷重とよく一致する。

残留応力を軸方向に strain gage を貼り付けて後機械切断により応力を開放し、その時に生じる弹性歪を測定することに至り求めた。図2に結果を示す。溶接部附近で急激に引張応力が大きくなるところ。

ビード上での降伏応力は $\sigma_y = 7.2 \times 10^{-3}$ とみてよいと見てよい。圧縮部ではほとんど応力匀配がなく σ_y の値は 10 kg/mm^2 前後である。

柱の圧縮試験は、同一の正方形箱型断面 $Z/l_f = 30$ 、50 の二種について、それと偏心量を変えて、両端とも支持条件を行つた。偏心の半支点には特別な考慮を行つた。先に降伏荷重の各程度の荷重に対する次の条件が満たされたままで両端とも支持プロックへ微動装置で載荷状態を調整する。

1)柱の上中下3ヶ所で4箇所貼り strain gage の観



断面	柱番号	細長比	偏心量	最高荷重	最高荷重 降伏荷重
	A30-0	30	0	759t	0.895
	A30-1	"	28mm	720t	0.852
	A30-3	"	8.4mm	678t	0.805
	A30-5	"	14.0mm	690t	0.784
	A50-0	50	0	720t	0.852
	A50-1	"	4.66mm	673t	0.747
	A50-3	"	13.98mm	551t	0.624
	A50-5	"	23.3mm	306t	0.562

みかげほぼ均一（平均値からのバラツキが5%以下）

2) 柱中央卓下の横寸れびがたは (3/100mm以下)

この状態を中心圧縮態と仮定し柱の上下端で各二ヶ所に取付けた $\frac{1}{1000}$ mm 精度 dial gauge を設けてから微動ネジで端部プロンクを移動させることにより偏心を与えた。偏心量は柱の長さに対する $0, \frac{1}{1000}, \frac{3}{1000}, \frac{5}{1000}$ とした。実験の詳細を表 1 にまとめた。二つずつに分けてから精度の下の実験を行なうことが出来

3. 最高荷重、たわみ共に偏心量に応じてかなりの程度規則的に変化している。偏心量の小大ともに程最大曲率が大きく最高荷重に達した後の荷重の低下が速やかである。偏心荷重を受ける柱の荷重と中央荷重たわみの関係は幾分の仮定のもとに數値的に解くことが可能であり、これによつて偏心量に応じて各々の実験柱の最高荷重も求めることができた。これにつきは目下計算中である。

実験より得られた最高荷重を無次元化して座屈曲線上にプロットしたものと図5に示す。実線は Euler 曲線、実線は測定した残留応力をもとに tangent modulus を計算して座屈曲線である。 $\epsilon_{fr} = 30$ のものは計算値より落ちが小さく、偏心 0 の実験値ほぼ計算値と一致してゐる。これに対し $\epsilon_{fr} = 50$ のものは落ちがやや大きくなっている。理想的な状態での最大荷重は tangent modulus 1: F3 値と reduced modulus 1: F3 値との中間にあり、reduced modulus 1: F3 座屈曲線は一般に ϵ_{fr} 加小さず斜面では tangent modulus 1: F3 曲線よりも大きい。 ϵ_{fr} が大きくなるにつれて傾向は異なる。従って偏心量が同じとすると、最大耐力を表す座屈曲線は tangent modulus 1: F3 座屈曲線より右下に位置する。

降伏応力もしくはオイラーの座屈応力で表わされる理想的な柱の耐力と偏心量を最小に保つて実験を行はうとした柱の耐力との間に何下さが差が見られるかに注目し、偏心量を $1/1000$, $3/1000$, $5/1000$ と変化させて、時の各々の柱間の耐力の差は比較的少ない。このことから偏心量を最小にして実験した柱の耐力と理想的な柱の耐力の差は初期にわべ、和田ひどう(1970)で引かれている程度の極く小さな偏心の時の影響とは考え難く、近年云われてある様に荷重面内に存在する残留応力と大きく関係していることが想像される。図4から明らかが様に同じ残留応力分布、

